

# GPGPU를 활용한 다중 위성군/다중 주파수 실시간 SDR A-GNSS 수신기 설계 및 구현

한국항공대학교 항공전자정보공학과  
유원재

항법 및 정보시스템 연구실  
Navigation & Information Systems Laboratory

1

## 연구 배경

❖ L 밴드 내 모든 GNSS/RNSS 신호

**GPS**  
(L1/L2/L5)

**GLONASS**  
(G1/G2/G3)

**Galileo**  
(E1/E5b/E5a/E6)

**BeiDou**  
(B1/B2/B3)

**QZSS**  
(L1/L2/L5)

**IRNSS**  
(L5)

**SBAS**  
(L1)

: GPS	: Galileo	: QZSS	: SBAS
: GLONASS	: BeiDou	: IRNSS	

하위 L 밴드 (L2, L3, L5, L6)

<p><b>GPS L5/Q</b> <math>f_c = 1176.45</math> <math>BW = 20.46</math></p>	<p><b>Galileo E5a/Q</b> <math>f_c = 1176.45</math> <math>BW = 20.46</math></p>	<p><b>Galileo E5b/Q</b> <math>f_c = 1207.14</math> <math>BW = 20.46</math></p>	<p><b>GPS L2CM</b> <math>f_c = 1227.6</math> <math>BW = 1.023</math></p>
<p><b>QZSS L5/Q</b> <math>f_c = 1176.45</math> <math>BW = 20.46</math></p>	<p><b>IRNSS L5</b> <math>f_c = 1176.45</math> <math>BW = 24</math></p>	<p><b>BeiDou B2/Q</b> <math>f_c = 1207.14</math> <math>BW = 4.092</math></p>	<p><b>QZSS L2CM</b> <math>f_c = 1227.6</math> <math>BW = 1.023</math></p>
		<p><b>GLONASS G3</b> <math>f_c = 1202.025</math> <math>BW = 20.46</math></p>	<p><b>GLONASS G2</b> <math>f_c = 1246 \pm 0.4375 \times k</math> <math>BW = 1.022</math></p>
			<p><b>Galileo E6B/C</b> <math>f_c = 1278.75</math> <math>BW = 10.23</math></p>
			<p><b>BeiDou B3/Q</b> <math>f_c = 1268.52</math> <math>BW = 20.46</math></p>

상위 L 밴드 (L1)

<p><b>BeiDou B1/Q</b> <math>f_c = 1561.098</math> <math>BW = 4.092</math></p>	<p><b>GLONASS G1</b> <math>f_c = 1602 \pm 0.5625 \times k</math> <math>BW = 1.022</math></p>
<p><b>GPS L1C/A</b> <math>f_c = 1575</math> <math>BW = 2.046</math></p>	<p><b>Galileo E1OS</b> <math>f_c = 1575</math> <math>BW = 4.092</math></p>
<p><b>QZSS L1C/A</b> <math>f_c = 1575</math> <math>BW = 2.046</math></p>	<p><b>SBAS L1</b> <math>f_c = 1575</math> <math>BW = 2.046</math></p>

주파수 (MHz)

항법 및 정보시스템 연구실  
Navigation & Information Systems Laboratory

2

## 연구 배경

### ❖ SDR 적용 필요

- 기존 하드웨어 수신기로는 향후 주파수 및 변조 기법의 다변화를 만족시키기 어려움
  - 단일 하드웨어에 탑재된 소프트웨어의 조작을 통해 동작 특성을 유연하게 변경 가능
  - RF 프론트엔드 특성 변경을 통해 현존하는 모든 GNSS/RNSS 신호 접근 가능
  - KPS (Korea Positioning System) 및 미래의 C 밴드 GNSS 신호에 대처 가능
    - ✓ KPS 신호 검증 및 각종 테스트 시 매우 용이

### ❖ SDR 기반 GNSS 수신기 연구 동향 및 선행 연구

- 미래지향적인 SDR GNSS 수신기 전 세계적으로 접목 시도
  - 다양한 저가형 SDR 플랫폼 (bladeRF, osmosdr, HackRFone, MAX2769B, MAX2112) 등에 의해 GNSS 수신 연구가 전 세계적으로 활발
    - ✓ 동일한 주파수 대역인 GPS L1, Galileo E1 을 하나의 협대역 RF 프론트엔드를 통해 수신 연구 수행
  - 전리층 신틸레이션 및 간섭신호 관측에 SDR 기준국 적용 시도
  - 상용 GNSS SW RTK-LIB 에 SDR 기반의 GNSS 수신 기능을 추가하여 알고리즘 테스트
  - SDR 플랫폼을 활용한 배열안테나 기반의 항재밍 알고리즘 개발 및 성능평가
  - 무선 인지 환경에 따른 L1/L2 주파수 대역 GPS/GLONASS/BeiDou 신호 처리 시도
  - MATLAB PCT 기반의 GPU 활용 GNSS 신호 처리 아키텍처 연구

## 연구 동향

### ❖ SDR 기반 GNSS 수신기 연구 동향 및 선행 연구

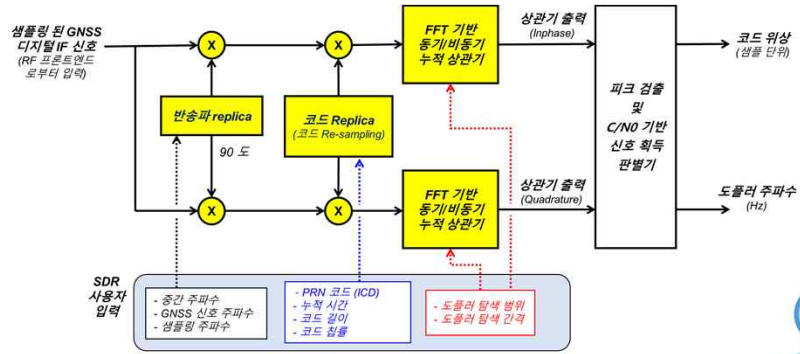
- 대부분 다중 RF-다중 스트림 구조이며, 혹은 단일 RF-단일 스트림 구조인 경우 샘플링 주파수가 높지 않아 모든 Constellation 신호 수신 불가
  - USRP 활용 연구 또한 안정적인 샘플 제공 문제로 인한 약 10 MHz 부근 샘플링 주파수 사용
  - (L1)GPS L1C/A+Galileo E1B+BeiDou B1I, (L2)Galileo E5B1+BeiDou B2I, (L2)GPS L2C+GLONASS G2 등
  - L 밴드 내(L1/L2/L3/L5/L6)에서 수신 가능한 모든 GNSS 신호를 다수의 SDR로 동시에 획득 및 신호 처리하기 위한 연구 필요

개발기관	CTTC	칭화대	TUMSAT	PLAN
플랫폼 (HW/SW)	GNSS-SDR / GESTALT	STARx	GNSS-SDRLIB	GNSSRx
연산용 하드웨어	• Dell's PowerEdge R730 Rack Server • Intel Xeon E5-2670 v2 • GPU	• PC (i7-3770K)	• 대부분의 PC 지원 (현재 GPU 가속 미지원)	• 대부분의 PC 지원 (GPU, DPS 가속 지원)
수신 가능 위성신호	• GPS L1C/A, L2C, L5 • GAL E1B, E5a, E5b • BDS B1I, B2I	• GPS L1C/A, L1C, L2C, L5 • GAL G1, G2 • GAL E1B, E5a/b • BDS B1I, B2I	• GPS L1C/A, L1C, L2C, L5 • GAL G1 • GAL E1B • BDS B1I	• GPS L1C/A, L1C, L2C, L5 • GAL G1, G2 • GAL E1B, E5a, E5b • BDS B1I
RF Front-end	• MaxX-NCS • USRP X300 • TeleOrbits FI • Eubandreceiver • NSL Stereo	• 자체개발	• NSL Stereo • USRP N210 • SiGeGN2SS • RTL-SDR • Nuand BladeRF	• SiGeGN2SS • GSS7700 • SiGeS4110
활용 사례	• 차세대 GNSS 수신기 개발 및 연구 • 전리층 모니터링	• 배열안테나 기반 재밍대응 성능평가	• RTK 알고리즘 개발 및 평가	• 지진 및 전리층 관찰 • 재밍대응 알고리즘 개발 및 성능평가

종류	GNSS-SDR (USRP)	GNSS-SDRLIB (USRP)
RF 프론트엔드	• 표본화 주파수 • LO 주파수 • 필터 계수 • 실수/복소 신호	• 실수/복소 신호 • RF Front-end 종류
수신기 채널	• 각 GNSS 신호 채널 수 • 잡음 대역폭 • 추적루프 필터 차수 • 도플러 주파수 탐색범위 • 도플러 주파수 탐색단계 • 신호획득 문턱값 • 누락 시간	• PRN • 시스템 종류 • 코드 종류 • 잡음대역폭 • 상관기 개수 • 상관기 간격 • 도플러 주파수 탐색범위 • 도플러 주파수 탐색단계 • 신호획득 문턱값
PVT	• 시스템 선택 • Moving Average 윈도우 크기 • PVT 출력주기 • 결과 저장주기	• PVT 출력주기

## SDR 기반 다중 항법군/다중 주파수 신호 획득 (1/2)

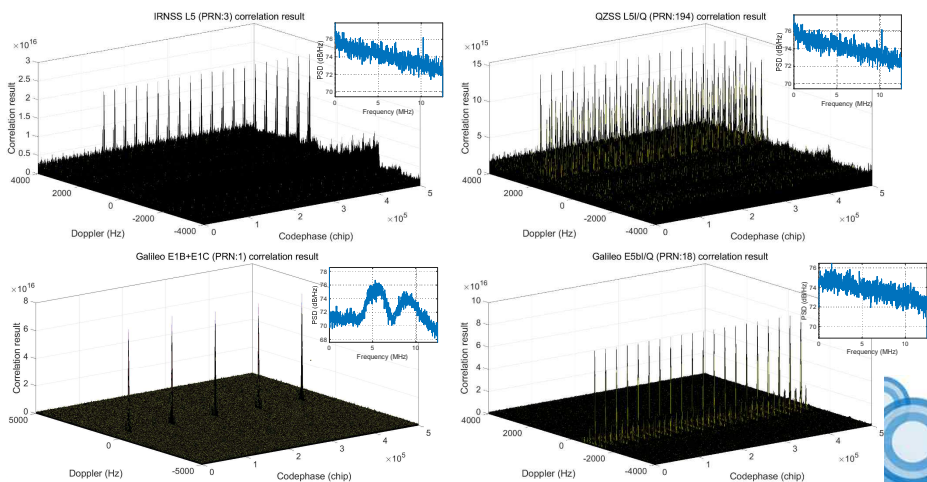
- ❖ GPGPU를 활용한 가속화된 다중 항법군/다중 주파수 신호 획득
  - GNSS/RNSS Interface Control Document (ICD) 기반 모든 PRN 코드 생성 모듈 설계
    - Upper 10-bit Linear Shift-register, Hexadecimal 코드(메모리 코드) 등
  - BPSK, Binary Offset Carrier (BOC), Alternate BOC (AltBOC) 변조 전부 허용
  - 데이터/파일럿 채널 존재 신호에 대해서, 신호 결합 후 동시 상관 수행



5

## SDR 기반 다중 항법군/다중 주파수 신호 획득 (2/2)

- ❖ GPGPU를 활용한 가속화된 다중 항법군/다중 주파수 신호 획득
  - BPSK(1), BPSK(10), BOC(6, 1, 1/11), AltBOC(15, 10)



6

## 다수 SDR 결합 코드 위상/도플러 기반 위치해 추정 (1/3)

### 단일 SDR 코드 위상 및 도플러 기반의 사용자 위치 해 추정

- 일반적인 거리 측정 : GNSS 위성과의 시각 동기 기반의 거리 측정
- GNSS 수신기 내 XO, TCXO 등 저가형 Oscillator 탑재
  - GNSS 위성과 시각 미 동기 시, 참 시간과 오차 크게 발생 가능성 높음
  - GNSS 위성과 시각 미 동기 된 수신기 내부 시간 : **개략 시간 (Coarse-time)**
- 신호 상관기 획득 결과값 (1. 코드 위상 : 샘플 단위로 측정)
  - GNSS 위성으로부터 반복적으로 송신되며 한 주기의 코드 내에서 반드시 시작 지점 존재
  - 코드 위상 : 코드의 시작 지점을 찾기 위한 상관기 내 시간 지연 값
  - (코드 반복 횟수 x 코드 주기) + 코드 위상 을 거리 측정치로 환산 가능
  - 거리해상도는 샘플링 주파수에 비례
- 정확한 코드 반복 횟수 계산을 위해 외부로부터 GNSS 위성 천체력데이터 (보조 정보 : 위성 위치/속도 계산 시 필요) 제공 요구 및 약 100 km 이내의 사용자 초기 위치 필요
  - 코드 반복 주기 1 ms = 약 300 km 이므로 100 km 이내의 초기 위치에서, 코드 반복 횟수 동일
- 신호 상관기 획득 결과값 (2. 도플러 : Hz 단위로 측정)
  - 4 개 이상의 도플러 측정치 를 활용해 충분히 수~수십 km 수준의 위치 추정 가능
  - 사용자 초기 위치로 활용

7

## 다수 SDR 결합 코드 위상/도플러 기반 위치해 추정 (2/3)

### 단일 SDR 코드 위상 및 도플러 기반의 개략 위치 추정

- 개략 시간(Coarse-Time) 이 사용자에게 미치는 영향
  - 거리 측정치 영역에 영향 : 모든 측정치에 동일하게 영향 미침 (수신기 시계 오차)
  - 거리 추정치 영역에 영향 : 위성 위치 계산 시 발생
    - ✓ 위성의 비선형 움직임으로 인해 각 위성 별로 미치는 영향이 다름 (개략 시간 오차)
- 비 시각 동기 된 SDR RF 프론트엔드 K 개를 사용하는 경우
  - 시간 오차 추정 변수가 각 RF 별 2 개 (수신기 시계 오차, 개략 시간 오차)
  - 추정 변수 개수 : 3 (사용자 위치) + 2 \* K (SDR RF 프론트엔드 당 시간 오차 2 개)

$$z = \tilde{p} - \hat{p} = \begin{bmatrix} \tilde{\rho}^1(t) \\ \tilde{\rho}^2(t) \\ \vdots \\ \tilde{\rho}^N(t) \end{bmatrix} - \begin{bmatrix} \hat{\rho}^1(t) \\ \hat{\rho}^2(t) \\ \vdots \\ \hat{\rho}^N(t) \end{bmatrix}$$

$$= \begin{bmatrix} -e^1 \\ -e^2 \\ \vdots \\ -e^N \end{bmatrix} \delta X_u + \begin{bmatrix} 1 \\ \vdots \\ 1 \end{bmatrix} \delta b_c + \begin{bmatrix} v^1 \\ \vdots \\ v^N \end{bmatrix} \delta b_e + \begin{bmatrix} e^1 \\ \vdots \\ e^N \end{bmatrix}$$

$$= \begin{bmatrix} -e^1 & 1 & v^1 \\ -e^2 & 1 & v^2 \\ \vdots & \vdots & \vdots \\ -e^N & 1 & v^N \end{bmatrix} \begin{bmatrix} \delta X_u \\ \delta b_c \\ \delta b_e \end{bmatrix} + \epsilon$$

$t$ : 실제 시간 (참 시간)	$\delta X_u = X_u - \hat{X}_u$
$t_c$ : 개략 시간	$\delta b_c = b_c - \hat{b}_c$
$b_c$ : 개략 시간 오차 ( $t - t_c$ )	$\delta b_e = b_e - \hat{b}_e$
$v^j$ : 의사거리 변화율 ( $j$ 번째 위성)	
$\tilde{\rho}^j(t)$ : 거리 측정치 ( $j$ 번째 위성)	
$\hat{\rho}^j(t)$ : 실제 시간에서의 거리 추정치 ( $j$ 번째 위성)	
$\hat{\rho}^j(t_c)$ : 개략 시간에서의 거리 추정치 ( $j$ 번째 위성)	
$e^j$ : 위성 and 사용자 초기 위치 간 시선각 벡터 (Line of Sight, $j$ 번째 위성)	
$N$ : 측정치 개수	
$e^j$ : 측정치 오차 ( $j$ 번째 위성)	

8

## 다수 SDR 결합 코드 위상/도플러 기반 위치해 추정 (3/3)

❖ 다수 SDR 코드 위상 및 도플러 기반의 개략 위치 추정 (총 4 대 USRP)

※ 추정 변수:  
총 11 개  
(사용자 위치 ECEF XYZ,  
수신기 시계 오차 \* 4,  
개략 시간 오차 \* 4)

※ 측정치 요구 개수:  
각 USRP 별 최소 2 개 이상  
및 총 11 개 이상  
(USRP 측정치 1 개인 경우,  
해당 USRP 오차 산출 불가)

$$z = \tilde{p} - \hat{p} = \begin{bmatrix} \hat{\rho}_1^s(t) \\ \vdots \\ \hat{\rho}_N^s(t) \\ \hat{\rho}_1^v(t) \\ \vdots \\ \hat{\rho}_N^v(t) \\ \hat{\rho}_1^a(t) \\ \vdots \\ \hat{\rho}_N^a(t) \end{bmatrix} = \begin{bmatrix} \rho_1^s(t) \\ \vdots \\ \rho_N^s(t) \\ \rho_1^v(t) \\ \vdots \\ \rho_N^v(t) \\ \rho_1^a(t) \\ \vdots \\ \rho_N^a(t) \end{bmatrix} = \begin{bmatrix} -e^1 & \vdots & 1 & 0 & 0 & 0 \\ -e^{N_1+1} & \vdots & 1 & 0 & 0 & 0 \\ \vdots & \vdots & \vdots & \vdots & \vdots & \vdots \\ -e^{N_1+N_2} & \vdots & 0 & 1 & 0 & 0 \\ \vdots & \vdots & \vdots & \vdots & \vdots & \vdots \\ -e^{N_1+N_2+1} & \vdots & 0 & 1 & 0 & 0 \\ \vdots & \vdots & \vdots & \vdots & \vdots & \vdots \\ -e^{N_1+N_2+N_3} & \vdots & 0 & 0 & 1 & 0 \\ \vdots & \vdots & \vdots & \vdots & \vdots & \vdots \\ -e^{N_1+N_2+N_3+1} & \vdots & 0 & 0 & 1 & 0 \\ \vdots & \vdots & \vdots & \vdots & \vdots & \vdots \\ -e^{N_1+N_2+N_3+N_4} & \vdots & 0 & 0 & 0 & 1 \\ \vdots & \vdots & \vdots & \vdots & \vdots & \vdots \\ -e^{N_1+N_2+N_3+N_4+1} & \vdots & 0 & 0 & 0 & 1 \end{bmatrix} \begin{bmatrix} \delta x_u \\ \delta y_u \\ \delta z_u \\ \delta b_{e1} \\ \vdots \\ \delta b_{eN} \end{bmatrix} + \begin{bmatrix} \delta b_{v1} \\ \vdots \\ \delta b_{vN} \\ \delta b_{a1} \\ \vdots \\ \delta b_{aN} \end{bmatrix} + \begin{bmatrix} \delta b_{c1} \\ \vdots \\ \delta b_{cN} \end{bmatrix} + \begin{bmatrix} e^1 \\ \vdots \\ e^{N_1+1} \\ \vdots \\ e^{N_1+N_2} \\ \vdots \\ e^{N_1+N_2+1} \\ \vdots \\ e^{N_1+N_2+N_3} \\ \vdots \\ e^{N_1+N_2+N_3+1} \\ \vdots \\ e^{N_1+N_2+N_3+N_4} \\ \vdots \\ e^{N_1+N_2+N_3+N_4+1} \end{bmatrix} \begin{bmatrix} v_1^1 & 0 & 0 & 0 \\ \vdots & \vdots & \vdots & \vdots \\ v_1^{N_1} & 0 & 0 & 0 \\ \vdots & \vdots & \vdots & \vdots \\ v_2^1 & 0 & 0 & 0 \\ \vdots & \vdots & \vdots & \vdots \\ v_2^{N_1} & 0 & 0 & 0 \\ \vdots & \vdots & \vdots & \vdots \\ v_3^1 & 0 & 0 & 0 \\ \vdots & \vdots & \vdots & \vdots \\ v_3^{N_1+N_2} & 0 & 0 & 0 \\ \vdots & \vdots & \vdots & \vdots \\ v_3^{N_1+N_2+1} & 0 & 0 & 0 \\ \vdots & \vdots & \vdots & \vdots \\ v_4^1 & 0 & 0 & 0 \\ \vdots & \vdots & \vdots & \vdots \\ v_4^{N_1+N_2+N_3} & 0 & 0 & 0 \\ \vdots & \vdots & \vdots & \vdots \\ v_4^{N_1+N_2+N_3+1} & 0 & 0 & 0 \end{bmatrix} \begin{bmatrix} \delta b_{v1} \\ \vdots \\ \delta b_{vN} \\ \delta b_{a1} \\ \vdots \\ \delta b_{aN} \end{bmatrix} + \begin{bmatrix} e^1 \\ \vdots \\ e^{N_1+1} \\ \vdots \\ e^{N_1+N_2} \\ \vdots \\ e^{N_1+N_2+1} \\ \vdots \\ e^{N_1+N_2+N_3} \\ \vdots \\ e^{N_1+N_2+N_3+1} \\ \vdots \\ e^{N_1+N_2+N_3+N_4} \\ \vdots \\ e^{N_1+N_2+N_3+N_4+1} \end{bmatrix} \begin{bmatrix} \delta b_{c1} \\ \vdots \\ \delta b_{cN} \end{bmatrix}$$

$e^1$	1	0	0	0	$v_1^1$	0	0	0	$e^1$
$\vdots$	$\vdots$	$\vdots$	$\vdots$	$\vdots$	$\vdots$	$\vdots$	$\vdots$	$\vdots$	$\vdots$
$e^{N_1+1}$	0	1	0	0	$v_1^{N_1}$	0	0	0	$e^{N_1+1}$
$\vdots$	$\vdots$	$\vdots$	$\vdots$	$\vdots$	$\vdots$	$\vdots$	$\vdots$	$\vdots$	$\vdots$
$e^{N_1+N_2}$	0	0	1	0	$v_2^1$	0	0	0	$e^{N_1+N_2}$
$\vdots$	$\vdots$	$\vdots$	$\vdots$	$\vdots$	$\vdots$	$\vdots$	$\vdots$	$\vdots$	$\vdots$
$e^{N_1+N_2+1}$	0	0	0	1	$v_2^{N_1}$	0	0	0	$e^{N_1+N_2+1}$
$\vdots$	$\vdots$	$\vdots$	$\vdots$	$\vdots$	$\vdots$	$\vdots$	$\vdots$	$\vdots$	$\vdots$
$e^{N_1+N_2+N_3}$	0	0	0	0	$v_3^1$	0	0	0	$e^{N_1+N_2+N_3}$
$\vdots$	$\vdots$	$\vdots$	$\vdots$	$\vdots$	$\vdots$	$\vdots$	$\vdots$	$\vdots$	$\vdots$
$e^{N_1+N_2+N_3+1}$	0	0	0	0	$v_3^{N_1+N_2}$	0	0	0	$e^{N_1+N_2+N_3+1}$
$\vdots$	$\vdots$	$\vdots$	$\vdots$	$\vdots$	$\vdots$	$\vdots$	$\vdots$	$\vdots$	$\vdots$
$e^{N_1+N_2+N_3+N_4}$	0	0	0	0	$v_4^1$	0	0	0	$e^{N_1+N_2+N_3+N_4}$
$\vdots$	$\vdots$	$\vdots$	$\vdots$	$\vdots$	$\vdots$	$\vdots$	$\vdots$	$\vdots$	$\vdots$
$e^{N_1+N_2+N_3+N_4+1}$	0	0	0	0	$v_4^{N_1+N_2+N_3}$	0	0	0	$e^{N_1+N_2+N_3+N_4+1}$

$\delta x_u$	$\delta b_{v1}$	$\delta b_{v2}$
$\delta y_u$	$\delta b_{v3}$	$\delta b_{v4}$
$\delta z_u$	$\delta b_{a1}$	$\delta b_{a2}$
$\delta b_{e1}$	$\delta b_{c1}$	$\delta b_{c2}$
$\delta b_{eN}$	$\delta b_{cN}$	

$\{N_i\}_{i=1,2,3,4}$  : USRP 1,2,3,4 각각의 측정치 개수  
 $\{\delta b_{v_i}\}_{i=1,2,3,4}$  : USRP 1,2,3,4 각각의 수신기 시계 오차  
 $\{\delta b_{c_i}\}_{i=1,2,3,4}$  : USRP 1,2,3,4 각각의 개략 시간 오차

15

9

## 실시간 SDR A-GNSS 소프트웨어 구현

❖ 실제 구동 중인 실시간 SDR A-GNSS 서버/수신기 외형

Server Setting

A-GNSS Connection Setting

Server Setting

IP Address: 220.67.133.120

Port Number: 13975

Navigation Message Type

Navigation File Path

Navigation Message File Path

Logging

Signal Processing Setting

Constellation / Frequency Band

USRP 1: GPS, BPS, QPSK, BPSK

USRP 2: GPS, BPS, QPSK, BPSK

USRP 3: GPS, BPS, QPSK, BPSK

USRP 4: GPS, BPS, QPSK, BPSK

Acquisition Setting

Integration Time (ms): 500

Navigation solution period (s): 0.5

Navigation Message Setting

A-GNSS Connection Setting

IP Address: 220.67.133.120

Port Number: 13975

Navigation Message Type

8.1.10 L-GNSS-A-GNSS Server

Setting

RUN

Information

8.1.10.1 SDR address User Software

Signal Processing Setting

RF Setting

Navigation Message Setting

USRP SDR RF Setting

8.1.10.2 SDR address User Software

Signal Processing Setting

RF Setting

Navigation Message Setting

USRP SDR RF Setting

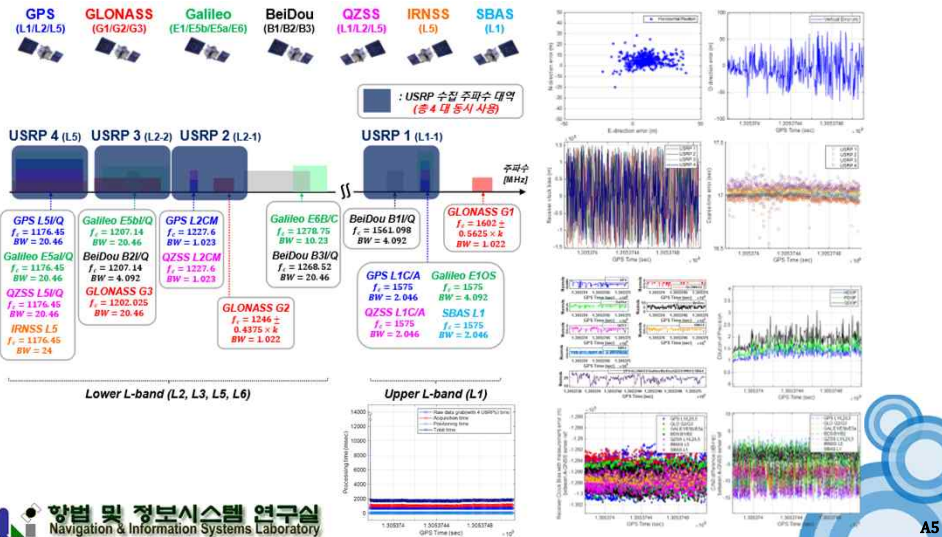
30

10

## 실시간 SDR A-GNSS 검증 실험 (1/2)

### 다중 USRP/다중 주파수 대역 실시간 SDR A-GNSS 수신기 실험

결과도시 : L1-1 + L2-1 + L2-2 + L5 (20 ms 동기 누적)



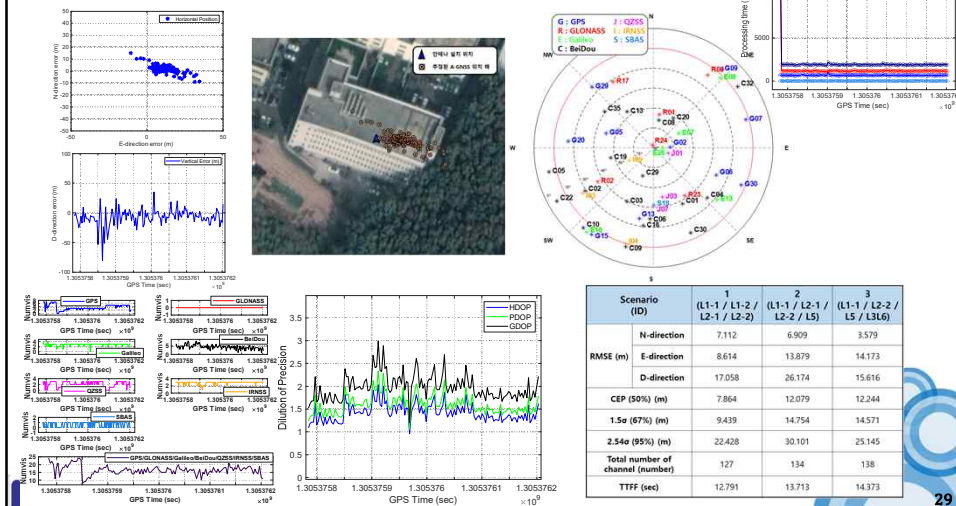
11

## 실시간 SDR A-GNSS 검증 실험 (2/2)

### 다중 USRP/다중 주파수 대역 실시간 SDR A-GNSS 수신기 실험

결과도시 : L1-1 + L2-2 + L5 + L3L6 주파수 대역 (20 ms 동기 누적)

약 10 분 간 실험 수행 (위치해 갱신주기 3초), 나머지 대역 결과 Appendix



12

## 결론

### ❖ SDR A-GNSS 수신기 설계

- SDR 기반 다중 항법군/다중 주파수 신호 획득
  - 사용자 입력 기반의 Parametric 구조로 설계되어 유연성 및 높은 확장성
  - 소프트웨어 기반 모든 L 밴드 내 GNSS OS 신호 획득 모듈 설계
  - GPGPU CUDA를 활용하여 연산 속도 대폭 가속화
- 다수 SDR 결합 코드 위상/도플러 기반 위치해 추정
  - RNSS 항법메세지 해독을 위해 Binary 형태 BINEX Raw Subframe/String/Page/Block 직접 해독 수행
  - 매우 짧은 ms 단위의 샘플만으로 정확도 및 신뢰성 만족하는 A-GNSS 사용자 위치해 신속 산출
  - 실제 적용 가능하다면 전력 소모 대폭 감소 및 사용 수명 대폭 증가
- 실시간 구동 가능한 SDR A-GNSS 서버/수신기 설계
  - USRP 직접 제어 및 구동 위한 UHD C++ API 적용
  - 100 MHz 샘플링 주파수 ms 길이 데이터 실시간 수집을 위한 메모리 버퍼 관리 알고리즘
  - 실시간 수집 및 동시에 신호 처리를 위한 Multi-Thread 기반 구조로 설계
  - 다양한 SDR 조합 및 다양한 환경에서의 후처리/실시간 실험을 통해 충분한 정확도의 실시간 위치해 산출

Thanks for Your  
Attention

Q&A